



## بررسی اولیه طراحی و ساخت مولد $^{90}\text{Sr}/^{90}\text{Y}$ برای مقاصد پزشکی هسته‌ای

محمدحسین مجربی تبریزی، علیرضا خانچی\*، محمود فیروز زارع، بهرام سلیمانی، محمد دیلمی، احمد امرالله ابهری  
پژوهشکده چرخه سوخت هسته‌ای، پژوهشگاه علوم و فنون هسته‌ای، سازمان انرژی اتمی ایران، صندوق پستی: ۱۱۳۶۵-۸۴۸۶، تهران- ایران

**چکیده:** رادیوایزوتوپ  $^{90}\text{Y}$  بعنوان ایزوتوپ دختر  $^{90}\text{Sr}$  که محصول شکافت اورانیوم است در پزشکی هسته‌ای از لحاظ درمان برخی از تومورهای بدخیم حائز اهمیت می‌باشد. روش‌های جداسازی  $^{90}\text{Y}$  از  $^{90}\text{Sr}$  عمدتاً شامل روش غشاء مایع، رسوبگیری، استخراج با حلال، روش تلفیق تبادل یون و استخراج با حلال و روش کروماتوگرافی تبادل یون می‌باشد. در این پژوهش از روش کروماتوگرافی استخراج با حلال، روش تلفیق برای فاز ساکن از رزین Dowex50Wx8 و برای فاز متحرک از سه شوینده: اگزالات آمونیوم، EDTA و سدیوم استات بهره گرفته شد. شرایط جداسازی این دو عنصر با استفاده از نمک‌های معمولی این عناصر شبیه‌سازی، سپس آزمایش‌ها در شرایط آنکیو انجام گرفت. برای تعیین دقیق مقادیر یونهای  $\text{Sr}^{+2}$  و  $\text{Y}^{+3}$  در آزمایش‌های شبیه‌سازی شده از دستگاه آنالیز عنصری نشری ICP-AES و برای ارزیابی آکتیویته نمونه‌های حقیقی، دستگاه شمارنده ستیلاسیون مایع بکار گرفته شد؛ همچنین بر اساس شدت و نوع پرتوهای موجود در این ژئراتور، محاسبات بر روی برد ذرات، ضخامت چگالشی و ضخامت خطی مواد مختلف جهت تضییف و به حداقل رساندن پرتوهای موجود در این ژئراتور، محاسبات بر روی برد ذرات، نیاز در این ژئراتور ستونهای ایمنی و اصلی طراحی و ساخته شدند.

**واژه‌های کلیدی:** مولد  $^{90}\text{Y}/^{90}\text{Sr}$ ، جداسازی  $^{90}\text{Sr}$  و  $^{90}\text{Y}$ ، کروماتوگرافی تبادل یون، پزشکی هسته‌ای، استرانسیوم-۹۰، ایتریوم-۹۰، مولد های رادیوایزوتوپ

## Preliminary Investigation on Designing and Developing $^{90}\text{Sr}/^{90}\text{Y}$ Generator for Nuclear Medicine Purposes

M. Mojarrabi Tabrizi, A. Khanchi\*, M. Firouz Zare, B. Salimi, M. Deilami, A. Amrollah Abhari  
Nuclear Fuel Cycle Research School, Nuclear Science and Technology Research Institute, AEOI, P.O. Box: 11365-8486, Tehran-Iran

**Abstract:** Yttrium-90 radioisotope as a daughter of Strontium-90 is one of the nuclear fission products and plays an important role in the treatment of malignant tumors in nuclear medicine. There are at least five methods for the separation of Y-90 from Sr-90 including: Liquid membrane separation, Precipitation solvent extraction ion exchange and solvent extraction combined with ion exchange method. In this work ion exchange chromatography was used by Dowex50Wx8 resin as a stationary phase and ammonium oxalate, EDTA and sodium Acetate solutions as mobile phases. Separation of yttrium and strontium was performed in the various simulation conditions and for determining the elements, ICP-AES technique was used. The activities of real samples were estimated with  $\beta$ -liquid scintillation counter. The various shielding parameters for designing different parts of generator were also considered in this work.

**Keywords:**  $^{90}\text{Sr}/^{90}\text{Y}$  Generator,  $^{90}\text{Sr}$  and  $^{90}\text{Y}$  Separation, Ion Exchange Chromatography, Nuclear Medicine, Strontium-90, Yttrium-90, Radioisotope Generators

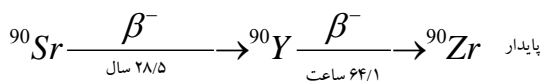
\*email: akhanchi@aeoi.org.ir

تاریخ دریافت مقاله: ۸۶/۵/۱۶ تاریخ پذیرش مقاله: ۸۷/۴/۴



## ۱- مقدمه

قرار گرفته است [۸ و ۹]. استفاده از واکنش (۲) برای تبدیل ایزوتوپ پایدار ایتریوم (یعنی  $^{89}\text{Y}$ ) به  $^{90}\text{Y}$  یکی از این روش‌ها محسوب می‌شود. از محدودیت‌های این روش می‌توان به حضور دایمی حامل  $^{89}\text{Y}$  در کنار  $^{90}\text{Y}$  و عدم توجیه اقتصادی تولید آن برای آن دسته از مراکز پزشکی هسته‌ای دانست که دور از راکتورهای هسته‌ای هستند. روش مهم‌تر بعدی استفاده از رادیوایزوتوپ  $^{90}\text{Sr}$  است که بعد از واپاشی به  $^{90}\text{Y}$  تبدیل می‌شود:



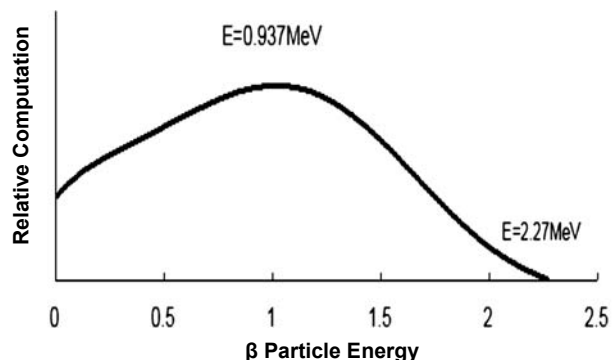
$^{90}\text{Sr}$  با تفکیک از محصولات شکافت حاصل از پرتودهی  $^{235}\text{U}$  بدست می‌آید. از محدودیت‌های این روش می‌توان به احتمال آلودگی محصول به رادیوایزوتوپ خطرناک  $^{90}\text{Sr}$  با نیمه عمر بالای ۲۸ سال اشاره کرد، بعبارت دیگر درجه خلوص ایزوتوپ دختر ( $^{90}\text{Y}$ ) برای مقاصد درمانی باید در حد بسیار بالای باشد.

- روش‌های جداسازی  $^{90}\text{Y}$  از  $^{90}\text{Sr}$  می‌توان در پنج دسته کلی قرار داد [۱۱]: روش استخراج با حلال، روش غشاء مایع، روش رسوبگیری، روش تلفیق تبادل یون و استخراج با حلال و روش کروماتوگرافی تبادل یون.

- روش استخراج با حلال که یکی از مهمترین روش‌های جداسازی  $^{90}\text{Y}$  از  $^{90}\text{Sr}$  محسوب می‌شود، دارای مزیت خلوص بالای محصول در مقیاس تولید بالاست و محدودیت آن را می‌توان به تعدد مراحل استخراج که مدت طولانی را بدنیال دارد و هزینه زیاد فرایند تولید برای واحدهای کوچک تولیدی ربط داد.

- روش غشاء مایع روش جدیدی است که بر اساس تکنیک جداسازی غشاء و استخراج با حلال پایه‌گذاری شده است. بر اساس این روش می‌توان محصول  $^{90}\text{Y}$  را برای نشاندار کردن کیت‌ها (پادتن‌ها، پیتیدها و...) و کاربردهای بالینی مستقیماً مورد استفاده قرار داد. با وجود این، روش غشاء مایع بعضی از محدودیت‌های استخراج با حلال را دربردارد. خاطر نشان می‌شود که در مقیاس تولیدی، این روش تاکنون مورد توجه قرار نگرفته است.

در سال‌های اخیر رادیوایزوتوپ  $^{90}\text{Y}$  توجه تعداد زیادی از پژوهشگران هسته‌ای را به خود معطوف کرده است [۱، ۲ و ۳]. نیم عمر آن تقریباً ۶۴/۱ ساعت (۷ روز) و دارای ویژگی نشر ذرات بتا با انرژی حداکثر  $2/27\text{MeV}$  است (شکل ۱). از ویژگی‌های چشمگیر ایزوتوپ مادر آن یعنی  $^{90}\text{Sr}$  نیم عمر طولانی (تقریباً ۲۸/۱ سال) است.  $^{90}\text{Y}$  دارای مزایا و محدودیت‌هایی نسبت به سایر رادیونوکلئیدها است. از مزایای آن می‌توان به قابلیت نفوذ بیشتر در بافت‌های مختلف در مقایسه با سایر رادیوایزوتوپ‌ها همچون  $^{211}\text{At}$ ،  $^{212}\text{Bi}$ ،  $^{213}\text{Bi}$  و  $^{225}\text{Ac}$  و ناچیزبودن پرتو گامای آن اشاره کرد. در استفاده از این رادیوایزوتوپ محدودیت‌هایی نیز وجود دارد که می‌توان به وابستگی آن به رادیونوکلئیدی مانند  $^{111}\text{In}$  جهت مطالعه ذیمتری قبل از بکارگیری بالینی و تنهشست آن در استخوان اشاره کرد. شرایط مناسب ایتریوم برای تشکیل کمپلکس با لیگاندهای معروفی همچون  $^{(1)}\text{DTPA}$  و  $^{(2)}\text{DOTA}$ ، کاربرد آن را به نحو گسترده‌ای در رادیوایمونوتراپی  $^{(3)}$  مطرح ساخته است. به عنوان مثال مشخص شده است که کمپلکس ایتریوم با DOTA نقش معرف دو عامله را برای نشاندار کردن بیومولکول‌ها و پیتیدها ایفا می‌کند. از جمله کاربرد دیگر  $^{90}\text{Y}$  در شاخه رادیوسینوپرتویز  $^{(4)}$  می‌باشد. به عنوان مثال در این روش  $^{90}\text{Y(OH}_3\text{-Fe(OH)}_3\text{)}$  با استفاده از مخلوط  $^{90}\text{Y-Hydroxyapatite}$   $^{90}\text{Y}$  با ابعاد دانه‌بندی ۵ الی ۲۰ میکرومتر بازداری کامل فعالیت سلطانی درون حفره مفصلی  $^{(5)}$ ، حداقل به مدت ۴۵ ساعت امکان پذیر می‌شود [۴ تا ۷]. تاکنون برای تولید  $^{90}\text{Y}$  روش‌های گوناگونی طراحی و ابداع شده‌اند ولی از لحاظ عملی، دو روش بیش از بقیه مورد توجه



شکل ۱- طیف پیوسته پرتو بتای  $^{90}\text{Sr}$



کروماتوگرافی و مقادیر رزین چندان مورد بررسی و تجزیه و تحلیل قرار نگرفته است.

در این کار، طراحی و ساخت مولد  $^{90}\text{Sr}/^{90}\text{Y}$  با استفاده از Dowex50Wx8 و برسی شوینده‌های اگزالت رزین  $^{90}\text{Y}$  آمونیوم<sup>(۶)</sup>، EDTA<sup>(۷)</sup> و سدیوم استات<sup>(۸)</sup> مورد توجه بوده‌اند. از ویژگی‌های مثبت این شوینده‌ها می‌توان به تشکیل کمپلکس‌های پایدار آنها با  $^{90}\text{Y}$  (جهت خروج کمپلکس در مرحله شویش)، غیرسمی بودن و مناسب بودن برای نشاندار کردن کیت‌های مربوطه با رادیونوکلئید  $^{90}\text{Y}$  اشاره کرد. علاوه بر این، درباره اصلاح پارامترهای تأثیرگذار بر خلوص ایتریوم، همچنین حفاظت لفیقی فلزهای سرب و آلمینیوم بررسی‌هایی انجام گرفته است.

## ۲- آزمایش‌های تجربی

### ۱- معرفه و مواد

مواد شیمیایی مورد استفاده با درجه خلوص p.a، محصول شرکت‌های Fluka و Merck بوده‌اند. رزین مبادله‌کننده کاتیونی از نوع پلی استایرن سولفونه شده Dowex50Wx8 در اندازه مش ۱۰۰-۲۰۰ (اندازه متوسط ذره ۱۲۰ میکرومتر) با چگالی ۸۰۰ کیلوگرم بر مترمکعب و ظرفیت تبادل ظاهری ۵ میلی‌اکی والان برگرم رزین خشک از شرکت Dow بوده است. برای محلول شبیه‌سازی شده جهت ورود به ستون از محلول‌های استاندارد ۱۰۰۰ ppm استرانسیوم و ۵۰ ppm ایتریوم و برای آزمایش‌های نهایی از  $^{90}\text{Sr}$  و  $^{90}\text{Y}$ ، با آکتیویته‌های به ترتیب ۲۰ mCi/ml و ۲۸۰ Bq/ml بهره گرفته شد.

### ۲- وسایل و دستگاه‌ها

ستون‌های کروماتوگرافی با قطرهای داخلی ۱۰ و ارتفاع‌های ۲۸، ۴۴، ۵۵، ۵۲، ۶۸ و ۸۵ میلی‌متر مورد استفاده قرار گرفته‌اند. پمپ مکشی از نوع Peristaltic Pump D-6900 (Peristaltic Pump D-6900) از شرکت Desaga PLG، ساخت کشور آلمان، برای کنترل دبی جریان خروجی در آزمایش‌های ستون به کار رفت. دستگاه آنالیز عنصری نشری ICP-AES<sup>(۹)</sup> مدل Turbo از شرکت واریان برای تعیین دقیق مقادیر (II) Sr(II) و (III) Y و دستگاه اسپکترومتری سنتیلاسیون مایع (Quantulus) ساخت شرکت Wallac مدل ۱۲۲۰ بوده است.

در روش رسوبگیری، می‌توان  $^{90}\text{Y}$  بدون حامل را با درجه خلوص بالا جداسازی کرد. چون این روش با استفاده از رسوبگیری نیترات استرانسیوم صورت می‌گیرد [۱۲ تا ۱۵]. صرف زمان طولانی جداسازی و خالص‌سازی که از تعداد زیاد مراحل کار ناشی می‌شود. از محدودیت‌های این روش محسوب می‌شود.

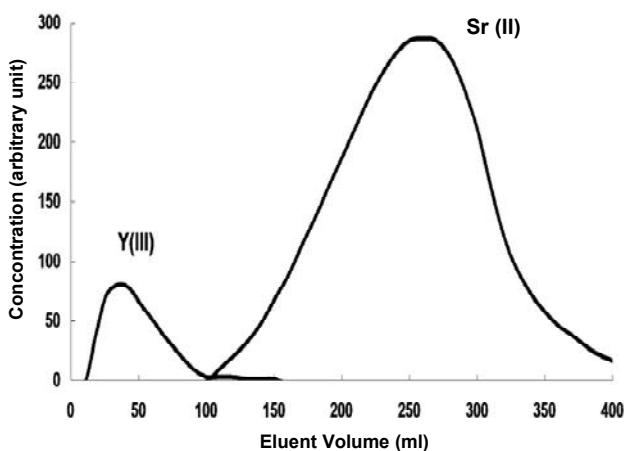
در روش تلفیق تبادل یون با استخراج حلال، ابتدا  $^{90}\text{Y}$  با بهمzدن مخلوط  $^{90}\text{Y}$  و  $^{90}\text{Sr}$  با استفاده از حلال اسید نیتریک از فاز آلی جدا می‌گردد، سپس  $^{90}\text{Y}$  طی مراحلی با استفاده از یک ستون تبادل یونی خالص‌سازی می‌شود. در آخر باید از روش کروماتوگرافی تبادل یون نام ببریم که در ساخت مولدات  $^{90}\text{Sr}/^{90}\text{Y}$  در مقیاس کوچک بیشتر از موارد دیگر مورد توجه قرار گرفته است [۱۱]. استفاده از رزین‌های مبادله‌کننده کاتیونی و آنیونی برای جداسازی  $^{90}\text{Sr}$  از  $^{90}\text{Y}$  به اواسط قرن بیست برمی‌گردد [۲۳ تا ۲۳] که تقریباً هم زمان مورد توجه بوده‌اند. برای رزین‌های کاتیونی، شوینده‌های مختلفی همچون سیترات، لاکتات، آلفاکیدروکسی، ایزو بوتیرات، EDTA و استات مورد استفاده قرار گرفته‌اند [۲۲ تا ۲۲]. علت توجه و استفاده از این شوینده‌ها، ویژگی‌های ایمنی و عدم تأثیر متقابل یا ناچیز آنها با بافت‌های زنده انسانی است. رزین‌های آنیونی در مقایسه با رزین‌های کاتیونی، در تحقیقات کمتر مورد استقبال قرار گرفته‌اند [۲۴ و ۲۵]. زیرا رزین‌های مبادله‌کننده کاتیونی (به ویژه نوع قوی آنها) دارای پایداری شیمیایی و تشعشعی به مراتب بیشتری نسبت به رزین‌های آنیونی است.

در سالهای گذشته مبادله‌کننده‌های معدنی نیز مورد توجه محققین بوده است. به عنوان مثال کارایی نمک‌های زیرکونیوم، تیتانیوم فسفات، همچنین اکسیدهای این دو فلز مورد ارزیابی قرار گرفته است. بررسی‌های بعمل آمده نشان می‌دهند که بازیابی  $^{90}\text{Y}$  از بستر جاذب این ترکیبات بازده بالایی ندارد [۲۱]. به این دلیل، تحقیقات کاربردی به منظور اصلاح مولدات برای اهداف پزشکی هسته‌ای در دهه ۱۹۹۰ میلادی [۲۶ و ۲۷] و سال‌های اخیر ادامه یافته است. ولی پارمترهای تعیین‌کننده همچون ابعاد ستون



مخلوط یون‌های  $\text{Sr}(\text{II})$  و  $\text{Y}(\text{III})$  در مرحله تثیت این یون‌ها بر روی رزین، در عمل باعث مسدود شدن ستون و در نتیجه عدم انجام صحیح در طی فرایند جداسازی می‌شود. به همین جهت در دو آزمایش نهایی غلظت آن به  $0.38\text{ mg}$  کاوش یافت و برای تثیت یون‌های  $\text{Y}(\text{III})$  و  $\text{Sr}(\text{II})$  از مخلوط  $2/5$  میلی‌لیتر استرانسیوم نیترات  $1000\text{ ppm}$  با  $0.5\text{ ml}$  ایترویوم کلراید  $\text{NH}_4^+$  [۲/۵mg  $\text{Sr}(\text{II}) + 0.5\text{ mg Y}(\text{III})$ ]  $1000\text{ ppm}$  که به آن  $26/5$  میلی‌لیتر آمونیوم اگزالات  $0.38\text{ mg}$  افزوده شد. این محلول از ستون حاوی رزین مبادله‌کننده Dowex50Wx8 که پیش‌تر به صورت  $\text{NH}_4^+$  تبدیل شده بود عبور کرد. حجم محلول شستشویی که برای هر دو آزمایش بکار رفت به ترتیب  $400$  و  $450$  میلی‌لیتر آمونیوم اگزالات یک درصد بود که در یکی از آزمایش‌ها  $\text{pH}$  آن با سود  $0/1$  مولار بروی  $6/5$  در دیگری بر روی  $4$  تنظیم شده بود. همچنانکه شکل ۲ نشان می‌دهد ایترویوم در  $100$  میلی‌لیتر اول از محلول شوینده خارج می‌شود.

**۳-۲-۲ شرایط جداسازی  $\text{Y}(\text{III})$  با محلول شوینده حاوی سدیوم استات آزمایش‌های تجربی این بخش به دو قسمت تقسیم می‌شوند. در قسمت اول همانند دو شوینده قبلی جداسازی دو یون  $\text{Y}(\text{III})$  و  $\text{Sr}(\text{II})$  از یکدیگر انجام شد و در قسمت دوم با بهره‌گیری از اطلاعات کسب شده در مرحله اول، رادیونوکلئیدهای مادر و دختر یعنی  $^{90}\text{Sr}$  و  $^{90}\text{Y}$  از یکدیگر جدا شدند.**



شکل ۲- نمودار جداسازی سیستم حاوی  $\text{Y}(\text{III})$  و  $\text{Sr}(\text{II})$  با  $400\text{ ml}$  از محلول شوینده آمونیوم اگزالات  $0.38\text{ mg}$  درصد (ستون حاوی  $5\text{ g}$  رزین  $\text{pH}=6/5$ ) (Dowex50Wx8

### ۳-۲-۳-۱ آماده‌سازی ستون و رزین مبادله‌کننده

با قرار دادن پشم شیشه در انتهای خروجی ستون‌های کروماتوگرافی آنها را می‌توان آماده ریختن رزین مبادله‌کننده کرد. باید دقت نمود سطح تماس پشم شیشه با رزین مبادله‌کننده صاف باشد سپس مقدار لازم از رزین موردنظر پس از سه بار شستشوی کامل با آب م قطر به صورت دوغاب در شرایطی به ستون انتقال یافت که با ایجاد حرکت ارتعاشی منظم در ستون، شرایط فشرده شدن مناسب آن فراهم شود. لازم بذکر است که در استفاده از سه شوینده EDTA، اگزالات آمونیوم و سدیوم استات، ستون‌های مبادله‌کننده به ترتیب با  $100$  میلی‌لیتر از محلول‌های  $2$  مولار  $\text{HCl}$  و  $1$  مولار  $\text{NaOH}$   $2$  مولار  $\text{NH}_4\text{Cl}$  آماده‌سازی شدند.

### ۳-۲-۳-۲ استفاده از EDTA به عنوان فاز متحرک

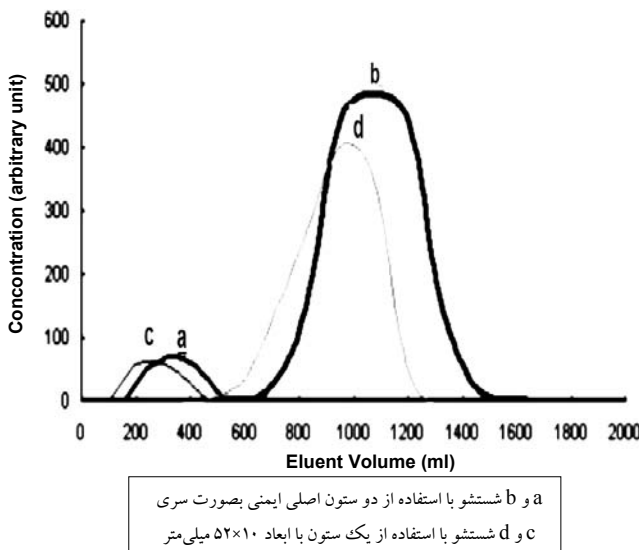
برای تثیت یون‌های  $\text{Y}(\text{III})$  و  $\text{Sr}(\text{II})$  از مخلوط  $5$  میلی‌لیتر محلول استرانسیوم نیترات با غلظت  $1000\text{ ppm}$  و  $3$  میلی‌لیتر محلول ایترویوم کلراید با غلظت  $5\text{ mg}$   $\text{Sr}(\text{II}) + 0.15\text{ mg Y}(\text{III})$   $50\text{ ppm}$  از استفاده شد. در آزمایش اول این مخلوط با  $8$  میلی‌لیتر محلول  $0.03\text{ M}$  مولار از EDTA مخلوط شد و از ستونی به ابعاد  $68 \times 10$  میلی‌متر حاوی  $5\text{ g}$  رزین مبادله‌کننده به صورت  $\text{H}^+$  و با سرعت جریان یک میلی‌لیتر بر دقیقه عبور کرد. استفاده از EDTA در این مرحله باعث می‌شود که با تشکیل کمپلکس با  $\text{Y}(\text{III})$ ، از تثیت و جذب قوی  $\text{Y}(\text{III})$  در ستون جلوگیری به عمل آید و به تبع آن از عریض شدن باند جذبی اجتناب خواهد شد. سپس برای حرکت باند جذبی، از  $160$  میلی‌لیتر محلول  $0.003\text{ M}$  مولار EDTA که  $\text{pH}$  آن بر روی  $4/5$  تنظیم شده بود استفاده شد. آزمایش دوم نیز در شرایطی مشابه آزمایش اول با این تفاوت که غلظت EDTA افزوده شده به مخلوط نمک‌های اولیه محلول  $0.01\text{ M}$  مولار و محلول شستشو به جای غلظت  $0.003\text{ M}$  مولار بود، انتخاب شد.

### ۳-۲-۳-۳ استفاده از آمونیوم اگزالات به عنوان فاز متحرک

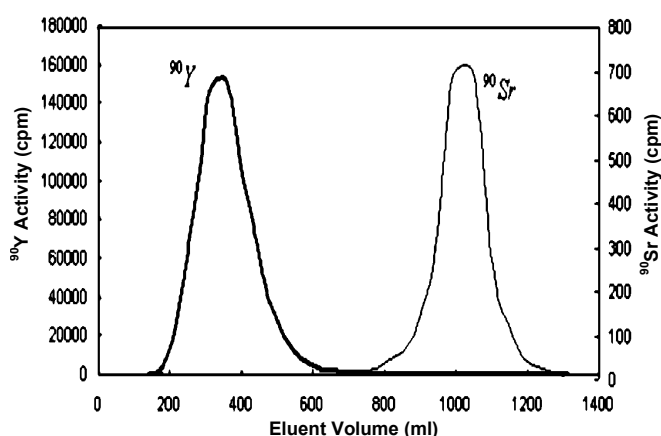
در آزمایش‌های مقدماتی بررسی تأثیر غلظت آمونیوم اگزالات، مشخص شد که غلظت یک درصد از آن به همراه



## ۱-۴-۳-۲ آزمایش‌های شبیه‌سازی



شکل ۳- نمودار جداسازی سیستم حاوی  $\text{Y}(\text{III})$  و  $\text{Sr}(\text{II})$  با  $1600\text{ ml}$  محلول شوینده سدیوم استات  $0.38$  درصد (ستون حاوی  $3$  گرم رزین [a,c]= $\text{Sr}(\text{II})$ ; d,b= $\text{Y}(\text{III})$ ], Dowex50Wx8



شکل ۴- نمودار جداسازی سیستم حاوی  $\text{Y}$  از  $90\text{Sr}$  با  $1400\text{ ml}$  محلول شوینده استات سدیوم  $0.25$  مولار (ستون اصلی حاوی  $3$  گرم و ستون اینمی حاوی  $0.5$  گرم رزین  $90\text{Sr}$  به صورت سری). Dowex50Wx8

جدول ۱- ابعاد ستونها و مقدار رزین بکار رفته در آزمایش‌های شبیه‌سازی و آکتیو.

شایط ستون برای کاربرد ڈنواتور	وزن (g)	اندازه (mm)	ردیف
ستون اصلی - متوسط	۵	$68 \times 10$	۱
ستون اصلی - متوسط	۳	$52 \times 10$	۲
ستون اصلی - متوسط	$2/5$	$44 \times 10$	۳
ستون اصلی - متوسط	$1/5$	$28 \times 10$	۴
ستون اصلی - مناسب	۳	$85 \times 10$	۵
ستون اینمی - مناسب	$0.5$	$55 \times 10$	۶

۵ میلی لیتر استرانسیوم نیترات با غلظت  $1000\text{ ppm}$  را با  $0.5$  میلی لیتر کلرید ایترویوم با غلظت  $1000\text{ ppm}$  برای عبور از ستون حاوی  $5$  گرم رزین به صورت  $\text{Na}^+$  و ابعاد  $52 \times 10$  میلی‌متر دی خروجی دو میلی لیتر بر دقيقه در نظر گرفته شد، سپس برای شستشوی ستون از  $1600$  میلی لیتر محلول سدیوم استات یک مولار که  $\text{pH}$  آن با  $\text{HCl}$  روی  $6/5$  تنظیم شده بود، استفاده شد. (مطابق نمودار شکل ۳[c,d]). آزمایش بعدی با همین شرایط انجام گرفت. با این تفاوت که یک ستون اینمی نیز به ابعاد  $55 \times 10$  و با  $0.5$  گرم رزین بصورت سری به ستون اصلی به ابعاد  $85 \times 10$  و با  $3$  گرم رزین اضافه شد (مطابق نمودار شکل ۳[a,b]).

## ۱-۴-۳-۲-۴ آزمایش با نمونه‌های آکتیو

رادیوایزوتوپ  $\text{Y}^{90}$  با استفاده از تکنیک فعال‌سازی نوترن<sup>(۱۰)</sup> تهیه و غلظت حامل تقریباً برابر با  $0.5$  میلی گرم بر میلی‌لیتر و آکتیویته  $\text{Y}^{90}$  بعد از پرتودهی برابر با  $20\text{ mCi/ml}$  بود. نمونه  $\text{Sr}$  از مخلوط کردن  $1$  میلی لیتر  $90\text{Sr}$  با آکتیویته ویژه  $280\text{ Bq/ml}$  با  $1\text{ mg/ml}$  (عنوان با یک میلی لیتر استرانسیوم نیترات طبیعی) حامل با نسبت  $1:1$  تهیه شد. نمونه‌های آکتیو  $\text{Y}^{90}$  و  $90\text{Sr}$  با سدیوم استات بترتیب با نسبت  $40:20:1$  مخلوط گردید و  $\text{pH}$  آن توسط  $0.03\text{ M}$  میلی لیتر سود  $0.2$  مولار روی  $6/5$  تنظیم شد.  $4$  میلی لیتر از این محلول در ستون اصلی حاوی  $3$  گرم رزین به صورت  $\text{Na}^+$  و ابعاد  $85 \times 10$  میلی‌متر با دی خروجی  $2$  میلی لیتر بر دقيقه بارگذاری شد. دو مین ستون که به صورت سری و به دنبال ستون اصلی قرار داشت حاوی  $0.5$  گرم رزین و ابعاد  $55 \times 10$  میلی‌متر (ستون اینمی) بود و همچنین ستون با  $1400$  میلی لیتر محلول سدیوم استات یک مولار که  $\text{pH}$  آن توسط سود بر روی  $6/5$  تنظیم شده بود، شسته شد (مطابق نمودار شکل ۴).

## ۳- ملاحظات مربوط به ابعاد ستون‌ها و حفاظت مولد

۱- بهینه‌سازی شایط ستون‌های کروماتوگرافی در آزمایش‌های شبیه‌سازی، جهت بدست آوردن ابعاد مناسب برای ستون، آزمایش‌های مختلفی انجام گرفت که مناسب‌ترین شایط از لحاظ قطر و طول ستون، همچنین قطر و طول ستونی که جنبه اینمی برای مولد دارد در جدول ۱ مندرج است.

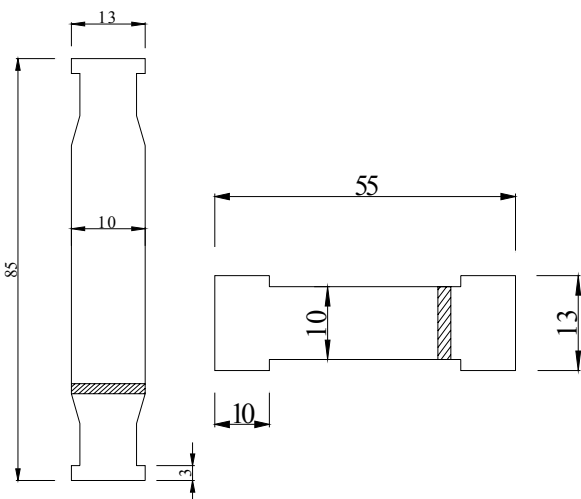


- سومین و خارجی ترین لایه از جنس پلاستیک بعنوان پوسته نگهدارنده ژنراتور (بدون تأثیر در جذب پرتوها).
- لازم به توضیح است به منظور افزایش عمر قطعات، همچنین به حداقل رساندن پرتوهای خروجی، ضخامت لایه‌ها چندین مرتبه بیشتر از مقادیر حساب شده در نظر گرفته شد.

### ۲-۲-۳ نحوه استفاده از مولد

مراحل دوشیدن  $\text{Y}^{90}$  توسط شوینده از مولد عبارتند از:

- ویال حاوی شوینده که بطور وارونه در محفظه دو سوزنی ژنراتور قرار می‌گیرد.
- ویال تحت خلاء بصورت وارونه در محفظه بزرگ یک سوزنی فرو برده می‌شود.
- $\text{Y}^{90}$  از ستون مولد (شکل ۵) با سرعت ۲ میلی لیتر بر دقیقه جدا و به داخل ویال تحت خلاء منتقل می‌گردد (پایان شویندگی با ظهور حباب‌های هوا درون ویال محتوى  $\text{Y}^{90}$  مشخص می‌گردد).
- ویال حاوی  $\text{Y}^{90}$  پس از قطع کامل حباب‌های هوا جدا می‌گردد.
- قرار دادن مجدد ویال تحت خلاء در محفظه تک سوزنی و ویال حاوی آب مقطر در محفظه دو سوزنی.
- نکته: آب مقطر، جهت مرطوب نگهداشت و حباب‌گیری، برای بالا بردن بازده مولد و جلوگیری از خطای احتمالی در دوشیدن مجدد استفاده می‌شود همچنین به ستون مادر این امکان را می‌دهد تا رادیوایزوتوب دختر در آن رشد یابد.



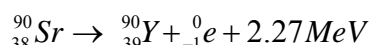
شکل ۵- اندازه ستون اصلی و ایمنی (مناسب).

### ۲-۳ محاسبات و طراحی حفاظت

#### ۲-۳-۱ محاسبات و ساختار مولد

واکنش تبدیل  $^{90}\text{Sr}$  به  $\text{Y}^{90}$  و محاسبات برد پرتو بتا و حداقل

ضخامت حفاظت چشمی  $^{90}\text{Sr}$  به قرار زیر می‌باشد [۲۸]:



$$89.98399 = 89.155 + Q \rightarrow Q = 0.00244 \text{ amu} \times 931 \text{ MeV}/\text{amu} = 2.27 \text{ MeV}$$

محاسبات برد پرتو بتا و حداقل ضخامت حفاظت چشمی  $^{90}\text{Sr}$  به

صورت زیر می‌باشد:

$$R = 412 E^{1.265 - 0.0954 \ln E} \quad R = 1.1 \text{ g/cm}^2$$

حداقل ضخامت حفاظت  $t_L$  برای چهار ماده پلکسی گلاس،

آلومینیوم، سرب و شیشه به صورت زیر بدست می‌آید:

$$\text{ضخامت خطی} = t_L = \frac{\rho}{\rho(g/\text{cm}^3)} \times t_d(\text{cm})$$

ضخامت برای پلکسی گلاس:

$$t_L = 1.1(\text{g/cm}^2)/1.18(\text{g/cm}^3) = 0.932\text{ cm}$$

ضخامت برای آلومینیوم:

$$t_L = 1.1(\text{g/cm}^2)/2.699(\text{g/cm}^3) = 0.41\text{ cm}$$

ضخامت برای شیشه:

$$t_L = 1.1(\text{g/cm}^2)/2.33(\text{g/cm}^3) = 0.47\text{ cm}$$

ضخامت برای سرب:

$$t_L = 1.1(\text{g/cm}^2)/11.34(\text{g/cm}^3) = 0.097\text{ cm}$$

در این تحقیق برای طراحی مولد  $^{90}\text{Sr}/^{90}\text{Y}$  از ژنراتور  $^{99}\text{Mo}/^{99m}\text{Tc}$  موجود در گروه پژوهشی رادیوایزوتوب الگوبرداری شد و چیدمان قطعات و ستون‌ها نظیر این مولد بوده است که در گروه پژوهشی رادیوایزوتوب تولید می‌شود. در این طراحی جنس ستون حاوی  $^{90}\text{Sr}$  از شیشه است و با این شرایط مقداری از پرتو بتا به اشعه ترمیزی تبدیل می‌گردد. برای بهینه‌سازی سیستم مولد ملاحظاتی در نظر گرفته شد که عبارتند از:

- اولین لایه داخلی از جنس آلومینیوم (برای جذب باقیمانده اشعه بتا).
- دومین لایه داخلی از جنس سرب (جهت جذب اشعه ترمیزی ایجاد شده توسط شیشه ستون).

۶



## ۴- بحث و نتایج

### ۱- بررسی اثر شوینده EDTA در جداسازی یون‌ها

نتایج آزمایش‌های ستونی برای جداسازی Y(III) از Sr(II) نشان می‌دهد که در ستون‌های حاوی ۵ گرم رزین Dowex50Wx8 در pH=۴/۵ در شرایطی مشابه با کارهای چینول و همکارانش و بر خلاف ادعای آنان جداسازی این دو یون با شوینده EDTA برای دو غلظت متفاوت ۰/۰۱ و ۰/۰۳ ممکن‌پذیر نیست [۲۳]. بطوریکه نمودار شستشوی هر دو یون کاملاً با یکدیگر همپوشانی دارند، که در اینجا برای اجتناب از افزایش مطالب نیامده است. با وجود این، توسط آنها درصد قابل توجه ناخالصی استرانسیوم در کنار ایتریوم گزارش شده است که به گونه‌ای تأیید ضعف این شوینده در تفکیک مناسب این دو عنصر می‌باشد.

### ۲- بررسی اثر شوینده آمونیوم اگزالات

مطالعات در زمینه شوینده آمونیوم اگزالات نشان می‌دهد که این ترکیب ممکن است شوینده مناسبی برای جدا کردن ایتریوم از استرانسیوم باشد [۲۰]. نتیجه حاصل از آزمایش‌های کار حاضر نیز مؤید این موضوع می‌باشد. از آزمایش‌های مختلف که با حجم‌های مختلف از شوینده، همچنین با pHهای مختلف انجام گرفت نتیجه بهینه مربوط به pH=۶/۵ می‌باشد. علاوه بر این، نتایج حاصل از بکارگیری محلول ۱٪ آمونیوم اگزالات به همراه Y(III) و Sr(II) نشان می‌دهد که به علت رسیدن غلظت آن به حد اشباع باعث نامحلول شدن نمک‌های استرانسیوم و ایتریوم و بافر آمونیوم اگزالات در محلول گردیده است که به دنبال آن عدم ثبت یون استرانسیوم در ستون و در نتیجه خروج توأم یون‌های استرانسیوم و ایتریوم و عدم جداسازی موفق این دو عنصر گردیده است.

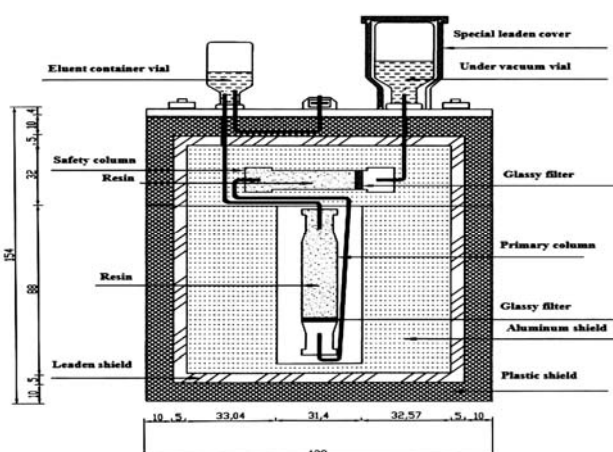
### ۳- بررسی شوینده سدیوم استات

آزمایش‌های متعددی برای تعیین اثر شویندگی محلول‌های رقیق استات صورت گرفته است و نتایج حاصل نشان می‌دهد که فاز متخرک حاوی استات، محدودیت آمونیوم اگزالات را به دنبال ندارد ولی پارامتر pH در این روش، نقش تعیین‌کننده تری را ایفا می‌کند. بطوریکه وقتی pH شوینده بر روی مقادیر پایین تر از ۶ تنظیم می‌شود، عملاً امکان تفکیک (Y(III) از Sr(II) میسر نیست و شرایط بهینه برای جداسازی این دو در pH=۶/۵ بدست

آمده است (شکل ۳). از آنجا که در مولدهای مورد طراحی معمولاً ستون‌های ایمنی به عنوان عاملی برای افزایش ضریب اطمینان استفاده می‌شود در اینجا آزمایش‌هایی نیز از تلفیق دو ستون انجام گرفت. منحنی شویش این دو عنصر در این شرایط نیز ترسیم شده که در شکل ۳[a,b] آمده است. همچنانکه از مقایسه دو منحنی شکل ۳([a,b] و [c,d]) می‌توان نتیجه گرفت، فواصل حجمی خروجی دو عنصر در سیستم دو ستونه بیشتر می‌باشد. مطابق با این نتیجه می‌توان در طراحی ژنراتور دو ستون را در کنار یکدیگر پیش‌بینی نمود.

### ۴- شاخص‌های مؤثر در طراحی و ساخت مولد

چنانکه قبل اشاره شد در طراحی مولد، اقتباس ساختار کلی از مولد  $^{99}\text{Mo}/^{99\text{m}}\text{Tc}$  موجود در گروه پژوهشی رادیوایزوتوپ بوده است. ولی به علت ماهیت چشممه ( $^{90}\text{Sr}$ ) که پرتو بتا ساطع می‌کند، رادیوایزوتوپ دختر آن ( $^{90}\text{Y}$ ) نیز همین رفتار پرتوزایی را دارد و این ایجاب می‌کرد که ضخامت یا بخشی از حفاظ مولد برای متوقف کردن ذرات بتا پیش‌بینی شود. فلز آلومینیوم یکی از عناصر مناسب برای این منظور می‌باشد. نشر پرتوهای حاصل از اشعه ترمی در اثر برخورد ذرات بتا به جدار شیشه‌ای ستون را نیز می‌توان با پوشش سربی، که در جداره بیرونی آلومینیوم بکار رفته است برطرف کرد. نتایج آزمایش‌های شبیه‌سازی شده که با قرار دادن چشممه‌های گسیل کننده بتا درون ژنراتور انجام گرفت، نشان می‌دهد که چنین چیدمانی از دو لایه فلزی، حفاظ مناسبی برای مولد محسوب می‌شود. پوشش پلاستیکی پلی‌پروپیلن در لایه خارجی به عنوان مکمل مجموعه مذکور در این طراحی پیش‌بینی شده است (شکل ۶).



شکل ۶- شمای کلی از مولد  $^{90}\text{Sr}/^{90}\text{Y}$ .



## References:

1. S.Y. Adelstein and F.J. Manning, (Editors), "Isotopes for medicine and the life sciences," National Academies press (1995).
2. "Nuclear Medicine Resources Manual," IAEA, International Atomic Energy Agency, printed by the IAEA in Austria (2006).
3. P.J. Ell and S.S Gambhir, (Editors), "Nuclear medicine in clinical diagnosis and treatment (Vol.182) 3rd," Churchill Livingstone (Elsevier Limited) (2004).
4. M. Venkatesh, U. Pandey, P.S. Dhami, R. Kannan, P.V. Achutan, R.R. Chitnis, V. Gopalakrishnan, S. Banerjee, G. Samual, M.R.A. Pillai, A. Ramanujam, "Complexation studies with  $^{90}\text{Y}$  from a Novel  $^{90}\text{Sr}$ - $^{90}\text{Y}$  Generator," *Radiochim Acta* 89, 413 (2001).
5. U. Pandey, A. Mukherjee, H.D. Sharma, T. Das, M.R.I. Pillai, M. Venka Tesh, "Evaluation of  $^{90}\text{Y}$ -DTPA and  $^{90}\text{Y}$ -DOTA for potential application in intra-vascular radionuclide therapy," *Appl. Radiat. Isot.* 57, 313 (2002).
6. U. Pandey, A. Mukherjee, H.D. Sharma, T. Das, M.R.A. Pillai, M. Venkatesh, "Preparation and studies with  $^{90}\text{Y}$ -labelled particles for use in radiation synovectomy," *Appl. Radiat. Isot.* 55, 471 (2001).
7. A. Mukherjee, U. Pandey, H.D. Sharma, M.R.A. Pillai, M. Venkatesh, "Preparation and evaluation of  $^{90}\text{Y}$  skin patches for therapy of superficial tumours in mice," *Nucl. Med. Comm.* 23, 243 (2002).
8. Edgardo Browne and Richard B. Firestone Virginias Shirley, "Table of radioactive isotopes," U.S.A, P:90.1-90.6, Edition: 2, (1986).
9. Z. Graheh, I. Eskinja, K. Kosutic, S. Cerjan-Stefanovic, "Isolation of yttrium and strontium from soil samples and rapid determination of  $^{90}\text{Sr}$ ," *J.Croatica Chemica Acta (CCACAA)*, 73(3), 795-807 (2000).
10. A. Gran Malonda, L. Rodriguez Barquero, A. Grau Carles, "Radioactivity determination of Y-90, Sr-90 and Sr-89 mixtures by spectral deconvolution," *Nucl. Instr. Meth. Phys. Res. A* 339, 31-37 (1994).

## ۵- نتیجه گیری

- نتایج حاصل گویای این مطلب است که جداسازی  $^{90}\text{Y}$  از  $^{90}\text{Sr}$  با یک ستون حاوی مبادله کننده کاتیونی به راحتی امکان پذیر می باشد.
- نتایج حاصل از طراحی حفاظ مولد نشان می دهد که با جمع کردن قطعات مربوط به ستون و خصایم آن، می توان شرایط لازم و عملی را بعنوان مولد سیستم  $^{90}\text{Sr}/^{90}\text{Y}$  در سیستمی بسته و کوچک فراهم نمود.
- با اینکه آزمایش های شبیه سازی، حاکی از شرایط مناسب محلول ایتریوم دوشیده شده از حیث خلوص شیمیایی است ولی برای تکمیل و استنتاج نهایی از جنبه خلوص رادیونوکلئیدی و آزمون های بالینی آزمایش های بیشتری باید با نمونه های حقیقی  $^{90}\text{Sr}$  با آکتیویته ویژه صورت گیرد.

:

- ۱- DTPA: Diethylene Triamine Pentaacetic Acid
- ۲- DOTA: 1,4,7,10-Tetraazacyclo DOdencane-  
N,N',N'',N'''-Tetraacetic Acid
- ۳- Radioimmuno Therapy
- ۴- Radiosynoviror Thesis
- ۵- Synovial Cavity
- ۶- Ammonium Oxalate,  $(\text{NH}_4)_2\text{C}_2\text{O}_4 \cdot \text{H}_2\text{O}$
- ۷- EDTA: Ethylene Diamin Tetraacetic Acid
- ۸-  $\text{CH}_3\text{COONa} \cdot 3\text{H}_2\text{O}$
- ۹- Inductively Coupled Plasma–Atomic Emission  
Spectroscopy
- ۱۰- Neutron Activation



- 11.Development of Generator Technologies for Therapeutic Radionuclides, (1<sup>st</sup>Research Coordination Meeting)," IAEA Headquarters Vienna, Austria, 4-8 October (2004).
- 12.Y.J. Koda, "Separation of pure <sup>90</sup>Y from a <sup>90</sup>Sr-<sup>90</sup>Y mixture by co-precipitation with ferric hydroxide," Inorg. Nucl. Chem. 25, 733 (1963).
- 13.M.L. Salutsky and H.W. Kirby, "Preparation and half life of carrier-free Yttrium-90," Anal. Chem. 27(4), 567-569 (1955).
- 14.H.L. Volchok and J.L. Kulp, "Half-life of Yttrium-90," Phys. Rev. 97, 102 (1955).
- 15.J.S. Wike, C.E. Guyer, D.W. Ramey, B.P. Phillips, "Chemistry for commercial scale production of yttrium-90 for medical research," J. Radiat. Appl. Instrum. Part A, 41, No. 9, 861 (1990).
- 16.R.F. Doering, W.D. Tucker, L.G.Jr. Stang, Report BNL-5454 (1962).
- 17.V.G. Herrmann and F. Strassmann, "Concerning the search for Sr and y isotopes from U fission," Z. Nautrforsch, 11A, 946 (1956).
- 18.K. Seyb and G.Z. Herrmann, Elektrochem. 64, 1065 (1960).
- 19.E. Minami, M. Honda, Y. Sasaki, "Ion-exchange separation of fission products," Bull. Chem. Soc. Japan. 31, 372 (1958).
- 20.Y. Suzuki, "Preparation of carrier-free <sup>90</sup>Y from <sup>90</sup>Sr with ion exchange," Journal. Appl. Radiation & Isotopes, 15, 599-602 (1964).
- 21.A.T. Rane and K.S. Bhatki "Rapid radiochemical separations of strontium-90-yttrium-90 and calcium-45-scandium-46 on a cation exchange resin," Anal. Chem. 38, 1598-1601 (1966).
- 22.W.Y. Skraba, H. Arino, H.H. Kramer, "A new <sup>90</sup>Sr/<sup>90</sup>Y radioisotope generator," J. Appl. Radio & Isotope. 29, 91 (1978).
- 23.M. Chinol and D.J. Hnatowich, "Generator produced yttrium-90 for radioimmunotherapy," J. Nucl. Medicine, 28, 1465 (1987).
- 24.S. Misumi and T.J. Taketatsu, "Separation of yttrium-90 from strontium-90 and lanthanum-140 from barium-140 with anion exchange, resin of carbonate form," Inorg. Nucl. Chem. 20, 127 (1961).
- 25.R.W. Perkins, "Filtration-precipitation separation of barium-140 from lanthanum-140," Anal. Chem. 29(1), 152-153 (1957).
- 26.P. Sylvester, US. Patent applications No. 2003/0231994 and 2004/0005272.
- 27.N.D. Betenekov, L.M. Sharygin, R.W. Brown, "90Sr/90Y radionuclide generator for production of high-quality Y-90 solution," US. Patent. 7101484, September (2006).
- 28.H. Cember, "Introduction to Health Physics," 4th.ed (2008).